

УДК 539.122:518.5

МОДЕЛИРОВАНИЕ МЕТОДОМ МОНТЕ-КАРЛО НЕУПРУГОГО РАССЕЯНИЯ МЕДЛЕННЫХ НЕЙТРОНОВ

А. Н. Иванов, Н. В. Иванов
(РФЯЦ-ВНИИЭФ)

Рассматривается проблема учета химических связей в задачах переноса медленных нейтронов. Предлагается эффективный способ моделирования траекторий медленных нейтронов методом Монте-Карло. Точность предлагаемого метода демонстрируется численными расчетами критических сборок.

Ключевые слова: метод Монте-Карло, медленные нейтроны, неупругое рассеяние.

Введение

При решении задач переноса нейтронов методом Монте-Карло данные по сечениям взаимодействия с атомами среды готовятся из оцененных данных, хранящихся в библиотеках типа ENDF/B. Доплеровское уширение сечений быстрых нейтронов учитывается в модели свободного газа, в которой предполагается, что скорости атомов среды имеют распределение Максвелла с температурой среды. Усреднение сечений реакций по распределению Максвелла выполняется численно, и в результате получаются поточечные тепловые сечения для заданной температуры среды. В методе Монте-Карло усреднение сечений можно выполнять непосредственно при моделировании траекторий нейтрона с помощью метода максимального сечения. Это позволяет обойтись без предварительного усреднения сечений и точно моделировать рассеяние нейтронов на движущихся атомах среды. Подобный способ учета теплового движения атомов разработан и реализован авторами статьи в методике C-007 [1].

Для медленных (с энергиями меньше 5 эВ) нейтронов модель свободного газа не описывает процессы замедления и рассеяния нейтронов в материалах, содержащих легкие атомы. При рассеянии медленный нейtron может приобретать и терять энергию как за счет теплового движения атомов, так и за счет связей атомов среды. Для жидкостей надо учитывать молекулярные (химические) связи атомов, для твердых материалов — кристаллическую структуру вещества. Процесс рассеяния медленных нейтронов принято разбивать на три типа: когерентное и некогерентное упругое рассеяние без потери энергии и неупругое рассеяние с изменением энергии нейтрона. Дифференциальные сечения упругого рассеяния описываются достаточно простыми аналитическими формулами с коэффициентами, зависящими от температуры среды. Более сложным является двойное дифференциальное сечение неупругого рассеяния. Оно зависит от температуры и энергии налетающего нейтрона и описывает совместное распределение вторичной энергии и косинуса угла рассеяния в лабораторной системе координат.

В библиотеках типа ENDF/B это сечение выражается через закон рассеяния, задаваемый функцией двух безразмерных аргументов $S(\alpha, \beta)$. Первый аргумент есть приведенный квадрат переданного импульса, второй аргумент равен приведенной переданной энергии. Для практически интересных случаев функция $S(\alpha, \beta)$ симметрична по второму аргументу. Для ряда материалов и нескольких температур в библиотеках ENDF/B хранятся таблицы значений $S(\alpha, \beta)$ для ограниченной области аргументов: $[0, \alpha_{\max}] \times [0, \beta_{\max}]$. Для атомов, входящих в состав замедлителя, программа NJOY [2] из заданного таким образом закона рассеяния вычисляет табличные двойные дифференциальные

сечения неупругого рассеяния. При этом значения функции $S(\alpha, \beta)$ вне области определения таблицы вычисляются в приближении SCT [2].

Для метода Монте-Карло программа NJOY [2] формирует таблицы: полного сечения неупругого рассеяния, распределения вторичной энергии и условного распределения косинуса угла рассеяния при данном изменении энергии нейтрана. Узлы сетки по вторичной энергии выбираются из условия линейной интерполяции с заданной точностью. Распределение косинуса угла рассеяния описывается заданным числом равновероятных интервалов, границы которых рассчитываются для каждого изменения энергии нейтрана. Эти таблицы используются в программах Монте-Карло для моделирования неупругого рассеяния нейтронов с энергиями меньше 5 эВ. Для неузловых значений температур и энергий сечения и распределения вычисляются с помощью линейной интерполяции.

В статье [3] описан алгоритм линейной интерполяции по температуре для программы MCNP. Тестовые расчеты $K_{\text{эфф}}$ — коэффициента размножения для критической сборки, моделирующей ячейку реактора, показали, что сетка температур из библиотеки ENDF/B-VI является грубой для линейной интерполяции. К сожалению, библиотека ENDF/B-VI не содержит данных для табулирования функции $S(\alpha, \beta)$ на более подробной сетке температур. В данной работе предлагается новый алгоритм интерполяции дифференциального сечения неупругого рассеяния.

Прежде чем перейти к описанию предлагаемого алгоритма, рассмотрим подобнее алгоритм линейной интерполяции сечений по энергии налетающего нейтрана и температуре среды.

Линейная интерполяция дифференциального сечения

Пусть температура T принадлежит сеточному интервалу $[T_1, T_2]$, а энергия E — сеточному интервалу $[E_1, E_2]$. При линейной интерполяции по температуре дифференциальное сечение для энергии рассеянного нейтрана находится по формуле

$$\sigma(E, E', T) = w_T \sigma(E, E', T_1) + (1 - w_T) \sigma(E, E', T_2), \quad w_T = \frac{T_2 - T}{T_2 - T_1}.$$

Дифференциальные сечения в узловых температурах T_i вычисляются линейной интерполяцией по энергии:

$$\sigma(E, E', T_i) = w_E \sigma(E_1, E', T_i) + (1 - w_E) \sigma(E_2, E', T_i), \quad w_E = \frac{E_2 - E}{E_2 - E_1}.$$

Интегрируя эти формулы по вторичной энергии E' , получаем выражения для расчета полных сечений:

$$\begin{aligned} \sigma(E, T) &= w_T \sigma(E, T_1) + (1 - w_T) \sigma(E, T_2), \quad w_T = \frac{T_2 - T}{T_2 - T_1}; \\ \sigma(E, T_i) &= w_E \sigma(E_1, T_i) + (1 - w_E) \sigma(E_2, T_i), \quad w_E = \frac{E_2 - E}{E_2 - E_1}. \end{aligned}$$

Для демонстрации точности линейной интерполяции приведем два расчета сечения. В первом дифференциальное сечение для узловых точек энергии $E = 0,096$ эВ и температуры $T = 350$ К рассчитывалось с помощью интерполяции по температуре сечений для $T_1 = 296$ К и $T_2 = 400$ К в той же точке по энергии. Поскольку энергия $E = 0,096$ эВ и температура $T = 350$ К являются узловыми точками, дифференциальное сечение для них можно получить с помощью программы NJOY [2]. Во втором расчете оценивалась точность интерполяции по энергии. Для этого в сетку по начальным энергиям вводилась дополнительная точка $E = 0,1$ эВ и сечение в этой точке при $T = 350$ К считалось двумя способами: интерполяцией сечений в точках $E_1 = 0,096$ эВ, $E_2 = 0,1035$ эВ и по программе NJOY.

Отношения интерполированных сечений к точным для первого и второго расчетов показаны на рис. 1. Из рисунка видно, что для вторичных энергий $E'/E \leq 1$ линейная интерполяция имеет достаточно хорошую точность и что ошибки интерполяции по температуре заметно больше ошибок интерполяции по энергии.

На рис. 2 демонстрируется поведение сечения передачи энергии как функции параметра β . Представлены сечение водорода в воде для энергии $E = 0,86$ эВ и температуры $T = 296$ К и это же

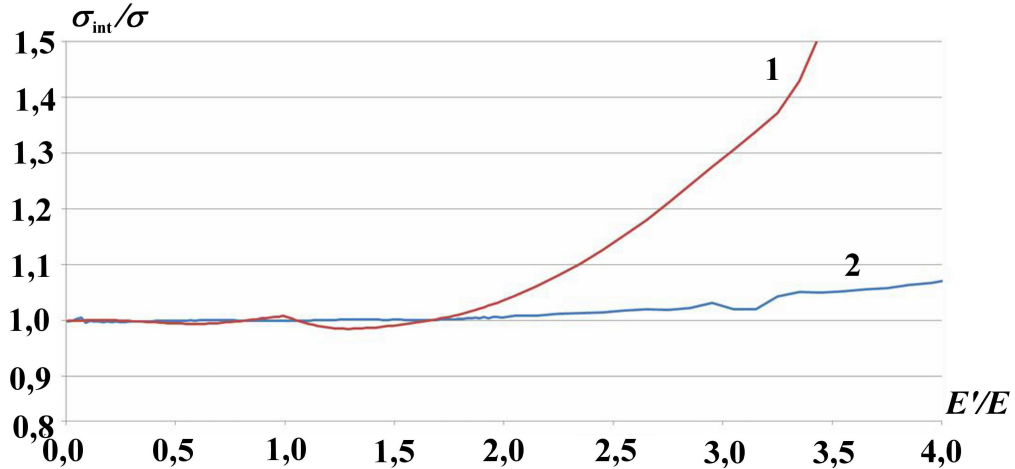
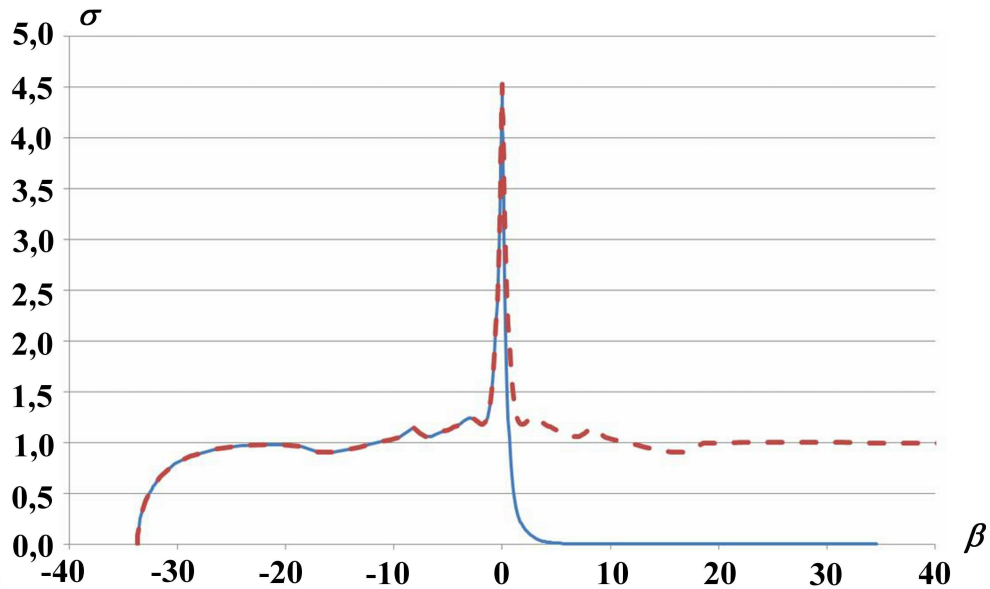


Рис. 1. Отношение интерполированных сечений к точным сечениям: 1 — расчет 1; 2 — расчет 2

Рис. 2. Сечение передачи энергии на водороде в воде: — исходное сечение; - - - сечение, умноженное на $\exp(\beta)$

сечение, умноженное на $\exp(\beta)$ для положительных значений β (набор энергии). Видно, что сечение, умноженное на экспоненту, имеет более гладкое поведение. Это наблюдение будем учитывать при интерполяции сечений по параметру β .

Влияние линейной интерполяции сечений на стационарный поток

Ошибки линейной интерполяции сечений сказываются на точности решения задач переноса медленных нейтронов. Покажем это на примере расчета стационарного потока в бесконечной среде. Известно [4], что для симметричных по аргументу β законов рассеяния дифференциальное сечение $\sigma(E, E', T)$ удовлетворяет принципу детального баланса:

$$E e^{-E/T} \sigma(E, E', T) = E' e^{-E'/T} \sigma(E', E, T).$$

Из него следует, что в однородной бесконечной среде без поглощения стационарным решением уравнения переноса является распределение Максвелла с температурой среды. При линейной интерпо-

ляции сечений принцип детального баланса нарушается и стационарное решение отклоняется от распределения Максвелла.

Для демонстрации отклонения рассмотрим модельное уравнение переноса нейтронов в бесконечной однородной непоглощающей среде с единичной плотностью и температурой T :

$$\frac{\partial f(t, E)}{\partial t} + v\sigma(E, T)f(t, E) = \int v'\sigma(E', E, T)f(t, E')dE' + Q(E).$$

Здесь $f(t, E)$ — функция распределения нейтронов по энергии на момент времени t ; v — скорость нейтронов; $Q(E)$ — источник нейтронов.

Для расчета стационарного решения была создана программа, которая методом Монте-Карло решает модельное уравнение с максвелловским источником нейтронов. Стационарное решение находится путем моделирования траекторий нейтронов на достаточно большом временном интервале.

При столкновении нейтрона с энергией $E \in [E_1, E_2]$ для розыгрыша вторичной энергии E' используется метод стохастической интерполяции [5]. Он сводится к следующим действиям:

1. Случайным образом выбирается узловая температура T_* . С вероятностью $w_T\sigma(E, T_1)/\sigma(E, T)$ она равна T_1 , с противоположной вероятностью — T_2 .
2. Затем разыгрывается узловая энергия E_* . С вероятностью $w_E\sigma(E_1, T_*)/\sigma(E, T_*)$ она равна E_1 , с противоположной вероятностью — E_2 .
3. Вторичная энергия нейтрона моделируется по дифференциальному сечению $\sigma(E_*, E', T_*)$.

Программа рассчитывает стационарный поток нейтронов на сетке по безразмерной энергии E/T . В ячейках сетки поток находится с помощью оценки по пробегу. Результатом расчета является отношение стационарного потока нейтронов к максвелловскому потоку с температурой среды.

На рис. 3 приведены результаты двух расчетов для водорода в воде с температурой 350 К. В первом расчете сечение для температуры 350 К находились линейной интерполяцией на интервале между узловыми температурами $T_1 = 296$ К и $T_2 = 400$ К. Этот расчет демонстрирует ошибки за счет интерполяции по энергии и температуре. Во втором расчете использовалась интерполяция только по энергии с помощью таблицы сечений для температуры 350 К. Видно, что наблюдается заметное завышение потока при больших энергиях. При двойной интерполяции максимум отклонения составляет около 250 %, при интерполяции только по энергии он достигает 20 %.

Приведенные численные эксперименты показывают, что линейная интерполяция дифференциального сечения неупругого рассеяния имеет серьезные недостатки, которые могут заметно влиять на точность расчетов задач переноса медленных нейтронов. В то же время эксперименты свидетельствуют, что линейная интерполяция дифференциального сечения хорошо "работает" для вторичных

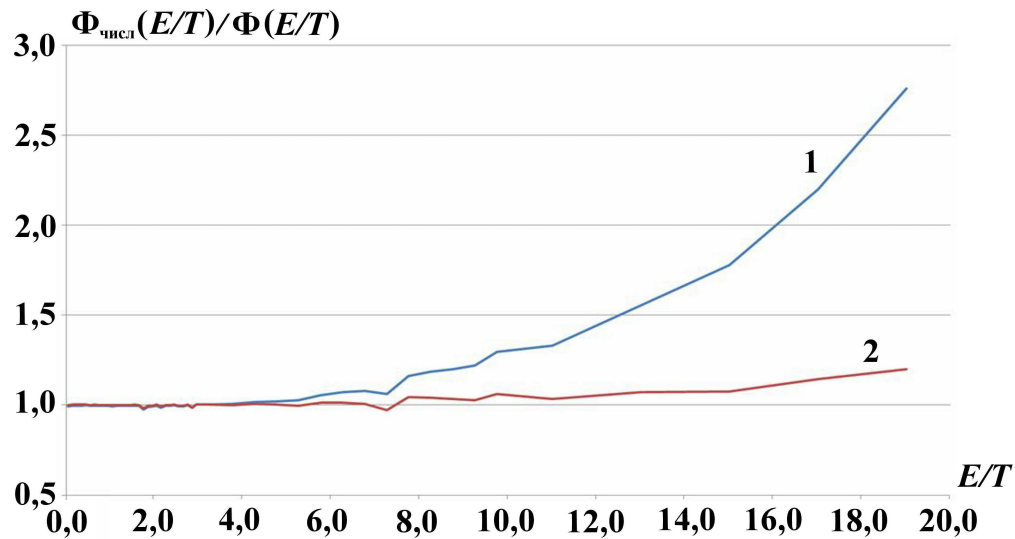


Рис. 3. Отношение расчетного стационарного потока к потоку Максвелла: 1 — расчет 1; 2 — расчет 2

энергий $E' \leq E$, т. е. при потере энергии нейтроном. Поэтому ниже предполагается, что для вычисления сечений при $E' \leq E$ можно использовать линейную интерполяцию.

Интерполяция сечений с учетом принципа детального баланса

Для получения формул интерполяции при наборе энергии воспользуемся принципом детального баланса. Рассмотрим сначала интерполяцию сечения по температуре для вторичных энергий $E' \geq E$. Предположим, что температура T находится на интервале между узловыми температурами T_1 и T_2 . Запишем выражение детального баланса для дифференциального сечения $\sigma(E, E', T)$:

$$Ee^{-E/T}\sigma(E, E', T) = E'e^{-E'/T}\sigma(E', E, T).$$

В левой части этого равенства аргумент E имеет смысл первичной энергии, аргумент E' — вторичной энергии нейтрона. В правой части аргументы меняют смысл. Это означает, что при энергиях $E' \geq E$ линейной интерполяцией можно воспользоваться в правой части равенства. Учитывая это, получаем следующее выражение $\sigma_{\text{int}}(E, E', T)$ для сечения в области энергий $E' \geq E$:

$$Ee^{-E/T}\sigma_{\text{int}}(E, E', T) = E'e^{-E'/T}\left[w_T\sigma(E', E, T_1) + (1 - w_T)\sigma(E', E, T_2)\right].$$

Потребуем, чтобы детальный баланс был выполнен для узловых температур T_i . Тогда в правой части сечения $\sigma(E', E, T_i)$ можно заменить выражениями

$$\sigma(E', E, T_i) = \frac{E}{E'}\sigma(E, E', T_i)e^{\beta_i}, \quad \beta_i = \frac{E' - E}{T_i}.$$

После несложных преобразований приходим к следующей формуле интерполяции сечения по температуре:

$$\sigma_{\text{int}}(E, E', T) = w_T e^{\beta(T/T_1 - 1)}\sigma(E, E', T_1) + (1 - w_T)e^{\beta(T/T_2 - 1)}\sigma(E, E', T_2), \quad \beta = \frac{E' - E}{T}. \quad (1)$$

Для узловых температур T_i формулы интерполяции по начальной энергии находятся аналогичным образом. При этом полезно ввести безразмерную вторичную энергию $\bar{E} = E'/E$ и сечение интерполировать по начальной энергии при фиксированном значении \bar{E} . Дело в том, что при столкновениях с $\bar{E} \leq 1$ нейtron теряет энергию, а при $\bar{E} \geq 1$ он ее приобретает. Фиксирование энергии \bar{E} позволяет не смешивать при интерполяции две физически разные области. Как и выше, будем считать, что линейная интерполяция по энергии работает для вторичных энергий $E' \leq E$ и что в узловых точках по энергии выполнен принцип детального баланса. Тогда получим следующую формулу для интерполяции сечений по энергии в узловой температуре T_i :

$$\sigma_{\text{int}}(E, E', T_i) = w_E e^{\beta_i(E_1/E - 1)}\sigma(E_1, E', T_i) + (1 - w_E)e^{\beta_i(E_2/E - 1)}\sigma(E_2, E', T_i). \quad (2)$$

Из формул (1), (2) можно вывести общую формулу для двойной интерполяции по энергии и температуре:

$$\begin{aligned} \sigma_{\text{int}}(E, E', T) &= w_T \left[w_E A_{11} \sigma_{11}(\beta) + (1 - w_E) A_{12} \sigma_{12}(\beta) \right] + \\ &\quad + (1 - w_T) \left[w_E A_{21} \sigma_{21}(\beta) + (1 - w_E) A_{22} \sigma_{22}(\beta) \right]. \end{aligned}$$

Здесь $\sigma_{ij}(\beta) = \sigma(E_j, \beta, T_i)$ — исходные табличные сечения передачи энергии; коэффициенты A_{ij} равны единице для отрицательных значений β , а для положительных β они имеют следующий вид: $A_{ij} = \exp\left\{\beta\left(\frac{TE_j}{ET_i} - 1\right)\right\}$.

Для проверки новых формул интерполяции были проведены расчеты дифференциальных сечений, аналогичные описанным выше для линейной интерполяции. Результаты расчетов приведены

на рис. 4 (см. также цветную вкладку). На цветном рисунке синим цветом выделены кривые, показывающие точность интерполяции по энергии, а красным — по температуре. Для удобства сравнения графики, полученные при линейной интерполяции, нанесены пунктирными линиями. Видим, что построенная авторами интерполяция сечений заметно лучше линейной интерполяции и имеет точность не менее 2 % в широком диапазоне вторичных энергий $\bar{E} = E'/E$.

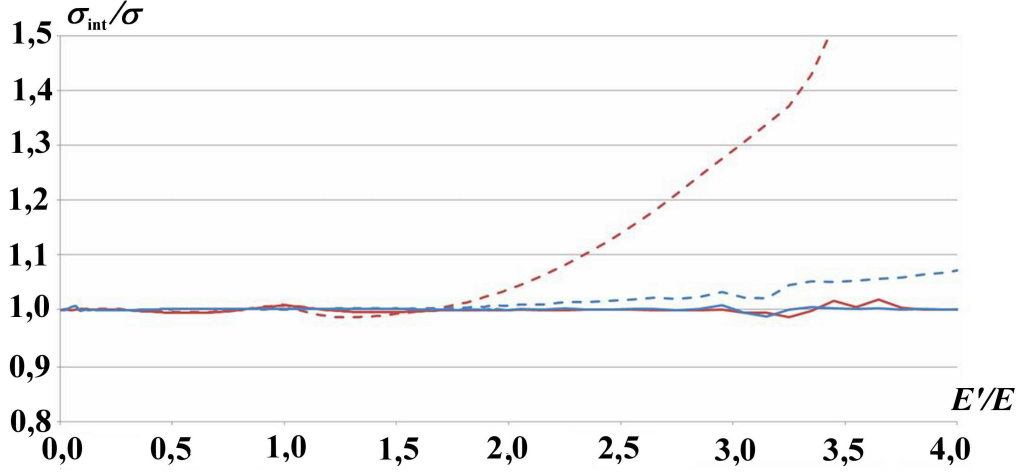


Рис. 4. Отношение интерполированных сечений к точным сечениям: — — по новым формулам; - - - - при линейной интерполяции

Метод максимального дифференциального сечения

Интерполированное сечение $\sigma_{\text{int}}(E, E', T)$ имеет один недостаток — оно является сложной нелинейной комбинацией исходных сечений. Вычисление полного сечения, а тем более моделирование рассеяния, практически невозможно. Этую проблему удалось решить путем модификации известного метода максимального сечения [6]. Данная модификация, которую авторы назвали методом *максимального дифференциального сечения*, основана на методе Неймана для моделирования ненормированных распределений.

В рассматриваемом случае ненормированным распределением является интерполированное сечение $\sigma_{\text{int}}(E, E', T)$. Оно описывает распределение вторичной энергии E' при фиксированных значениях температуры и начальной энергии. Согласно методу Неймана для сечения $\sigma_{\text{int}}(E, E', T)$ требуется построить достаточно простую мажоранту $\sigma_{\text{max}}(E, E', T) \geq \sigma_{\text{int}}(E, E', T)$. Тогда алгоритм розыгрыша вторичной энергии сводится к следующим действиям.

Находим максимальную нормированную плотность распределения энергии E'

$$P_{\text{max}}(E'|E, T) = \frac{\sigma_{\text{max}}(E, E', T)}{\sigma_{\text{max}}(E, T)}, \quad \sigma_{\text{max}}(E, T) = \int \sigma_{\text{max}}(E, E', T) dE'.$$

Разыгрываем по этой плотности пробное значение \hat{E}' . С вероятностью $q = \frac{\sigma_{\text{int}}(E, \hat{E}', T)}{\sigma_{\text{max}}(E, \hat{E}', T)}$ это значение принимается, а с противоположной вероятностью отвергается. Алгоритм обрывается, когда пробное значение принимается.

В методе максимального дифференциального сечения нормировка мажоранты $\sigma_{\text{max}}(E, T) = \int \sigma_{\text{max}}(E, E', T) dE'$ трактуется как максимальное полное сечение, вероятность $1 - q$ интерпретируется как вероятность *фактивного* столкновения, без изменения энергии. При этом уравнение переноса приобретает следующий вид:

$$\begin{aligned} \frac{\partial f(t, E)}{\partial t} + v \sigma_{\text{max}}(E, T) f(t, E) &= \int v' \sigma_{\text{max}}(E', T) P_{\text{max}}(E' \rightarrow \tilde{E}) \left[q(E', \tilde{E}) \delta(\tilde{E} - E) + \right. \\ &\quad \left. + (1 - q(E', \tilde{E})) \delta(E' - E) \right] f(t, E') d\tilde{E} dE'. \end{aligned}$$

Можно показать, что это уравнение эквивалентно исходному уравнению переноса.

Отличие модифицированного метода от стандартного состоит в следующем. В стандартном методе вопрос о фиктивности столкновения решается на уровне полных сечений, в модифицированном методе фиктивность столкновения определяется после пробного разыгрывания результата столкновения, т. е. на уровне дифференциальных сечений. Эффективность методов определяется числом фиктивных столкновений.

Алгоритм моделирования интерполированных сечений

Для применения метода максимального дифференциального сечения необходимо построить для интерполированного сечения $\sigma_{\text{int}}(E, E', T)$ достаточно простую мажоранту. При построении будем предполагать, что имеются таблицы полного сечения $\sigma_{ij} = \sigma(E_j, T_i)$ и сечения передачи энергии $\sigma_{ij}(\beta_k)$. Естественно стремиться, чтобы мажоранта $\sigma_{\max}(E, E', T)$ определялась существующими табличными сечениями. Простейший способ построения такой мажоранты сводится к максимизации коэффициентов $A_{ij} = \exp \left\{ \beta \left(\frac{TE_j}{ET_i} - 1 \right) \right\}$, что легко сделать на любом отрезке $[\beta_k, \beta_{k+1}]$. Авторы ограничились тремя отрезками: $[\beta_0, \beta_1]$, $[\beta_1, \beta_2]$ и $[\beta_2, \beta_3]$. Здесь $\beta_0 = -E/T$; $\beta_1 = 0$; $\beta_3 = \beta_{\max}$ — максимальное сеточное значение параметра β . Граница β_2 подбирается из условия минимального числа фиктивных столкновений. Максимальные значения коэффициентов на отрезках обозначим A_{ij}^m , $m = 1, 2, 3$.

В результате мажоранта для интерполированного сечения принимает следующий вид:

$$\begin{aligned} \sigma_{\max}(E, E', T) &= w_T \left[w_E \sum_{m=1}^3 A_{11}^m \sigma_{11}(\beta) + (1 - w_E) \sum_{m=1}^3 A_{12}^m \sigma_{12}(\beta) \right] + \\ &\quad + (1 - w_T) \left[w_E \sum_{m=1}^3 A_{21}^m \sigma_{21}(\beta) + (1 - w_E) \sum_{m=1}^3 A_{22}^m \sigma_{22}(\beta) \right]. \end{aligned}$$

Интегрируя мажоранту по вторичной энергии (параметру β), получаем выражение для максимального полного сечения:

$$\begin{aligned} \sigma_{\max}(E, T) &= w_T \left[w_E \sigma_{\max}^{11} + (1 - w_E) \sigma_{\max}^{12} \right] + (1 - w_T) \left[w_E \sigma_{\max}^{21} + (1 - w_E) \sigma_{\max}^{22} \right] = \\ &= w_T \sigma_{\max}(E, T_1) + (1 - w_T) \sigma_{\max}(E, T_2). \end{aligned}$$

Здесь $\sigma_{\max}^{ij} = \sum_{m=1}^3 A_{11}^m \sigma_{ij}^m$ — максимальные полные сечения для узлов T_i и E_j ; σ_{ij}^m — интеграл от табличного сечения $\sigma_{ij}(\beta)$ по m -му интервалу параметра β .

В результате для модельного уравнения переноса алгоритм моделирования траекторий принимает следующий вид:

1. По сечению $\sigma_{\max}(E, T)$ разыгрывается свободный пробег.
2. В точке столкновения методом стохастической линейной интерполяции разыгрываются узлы i, j по температуре и энергии.
3. Затем разыгрываются номер отрезка m и пробное значение параметра β на этом отрезке.
4. С вероятностью $A_{ij}(\beta)/A_{ij}^m$ столкновение считается реальным. С противоположной вероятностью столкновение будет фиктивным, без изменения энергии.

При реализации алгоритма учитывается экспоненциальное поведение сечения передачи энергии $\sigma(\beta)$ на положительной полуоси параметра β , показанное на рис. 2. Для этого $\sigma(\beta)$ на сеточных интервалах $[\beta_1, \beta_2]$ аппроксимируется выражением

$$\sigma(\beta) = \left[\sigma_1 + \frac{(\beta - \beta_1)(\sigma_2 e^{\Delta\beta} - \sigma_1)}{\Delta\beta} \right] e^{-(\beta - \beta_1)},$$

где $\Delta\beta$ — длина интервала; σ_i — значения сечения на концах интервала. Для розыгрыша на интервале пробного значения β используется метод Неймана с линейной мажорантой:

$$\sigma(\beta) \leq \sigma_{\text{lin}}(\beta) = \sigma_1 + \frac{(\beta - \beta_1)(\sigma_2 e^{\Delta\beta} - \sigma_1)}{\Delta\beta}.$$

Описанная методика моделирования неупругого рассеяния была реализована для модельного уравнения переноса в бесконечной среде. Для сравнения с методом линейной интерполяции повторены расчеты стационарного потока для водорода в воде при температуре 350 К. Результаты приведены на рис. 5 (см. также цветную вкладку). На цветном рисунке кривая синего цвета соответствует расчету с интерполяцией по температуре между узлами $T_1 = 296$ К и $T_2 = 400$ К. Кривая красного цвета получена расчетом на узловой температуре 350 К. Для представления о статистической ошибке на синей кривой отмечено стандартное отклонение, равное 2σ . Из рисунка видно почти идеальное совпадение потоков, что подтверждает высокую точность новой методики.

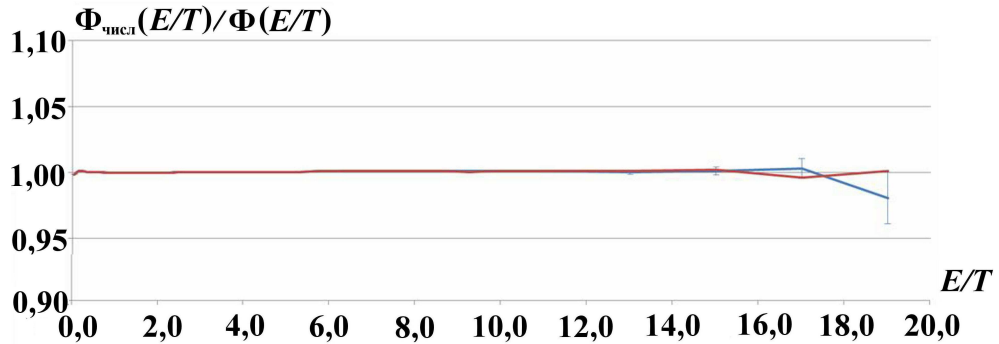


Рис. 5. Отношение расчетного стационарного потока к потоку Максвелла

Расчеты по методике C-007

Для проверки нового метода моделирования медленных нейтронов были проведены расчеты стационарного потока нейтронов по методике C-007 [1], аналогичные выполненным выше по тестовой программе. Для этого задавалась однообластная сферическая задача. Радиус сферы был взят настолько большим, что задача практически моделировала бесконечную среду с заданной температурой. Для расчета стационарного потока использовалась оценка по пробегу.

В отличие от тестового расчета учитывались все процессы, существующие в тепловой области, а не только неупругое рассеяние. Следует отметить, что это не должно приводить к отклонению стационарного потока от максвелловского. Так как реакции упругого рассеяния не меняют энергии нейтрона, а сечение γ -захвата ведет себя как $1/v$, происходит равномерное по энергии уменьшение потока. В результате после нормировки стационарный поток не должен отличаться от потока Максвелла.

Расчеты были выполнены для следующих материалов: вода (H_2O), полиэтилен (CH_2), графит (C) и гидрид циркония (ZrH). Вода и полиэтилен рассчитывались при температуре 325 К, а графит и гидрид циркония — при 350 К. Для температуры 325 К интерполяция сечений выполнялась между узловыми температурами 296 и 350 К, для температуры 350 К — между узловыми температурами 296 и 400 К.

На рис. 6 (см. также цветную вкладку) приведено отношение расчетного стационарного потока к точному. Материалам соответствуют следующие цвета кривых: голубой — H_2O , красный — CH_2 , зеленый — C, фиолетовый — ZrH . Видно, что отклонение от точного решения не превышает 1% для всех материалов, за исключением водорода в цирконии, для которого ошибка достигает 5%. Отметим, что измельчение сетки по начальной энергии позволяет уменьшить эту ошибку до 1%.

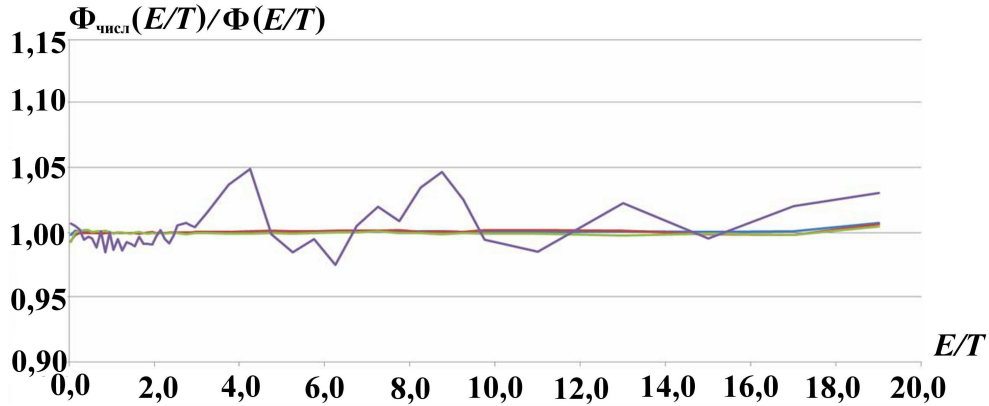


Рис. 6. Точность расчета стационарного потока по методике C-007

Точность вычисления $K_{\text{эфф}}$ демонстрируется на расчете критической сборки [3], моделирующей ячейку реактора (рис. 7). В центре цилиндрического блока находится топливо, окруженное кожухом из циркония, а снаружи — вода.

Для расчетов использовались данные по сечениям взаимодействия из библиотеки ENDF/B-VI. В качестве узловых были взяты температуры: 296, 450 и 600 К. Коэффициент размножения рассчитывался при температурах 296, 350, 400, 450, 500, 550 и 600 К.

В статье [3] расчеты выполнены по программе MCNP [7] с помощью линейной интерполяции сечений по температуре. Затем эти расчеты были повторены с сечениями, рассчитанными для каждой температуры с использованием модуля NJOY [2]. Расчеты проводились со статистической точностью 0,00005.

В табл. 1 для сравнения приводятся результаты расчетов как по методике C-007, так и по программе MCNP. Прочеркком помечены отсутствующие расчеты.

Наблюдаемые расхождения в значениях $K_{\text{эфф}}$, полученных по этим программам, объясняются следующими причинами. В статье [3] не указаны параметры точности, задаваемые при подготовке таблиц сечений из данных библиотеки ENDF/B, и отсутствуют точные данные о температурах материалов в задаче. Кроме того, в программе MCNP для быстрых нейтронов реализована модель свободного газа путем предварительного расчета доплеровского уширения сечений с последующей линейной интерполяцией по температуре,

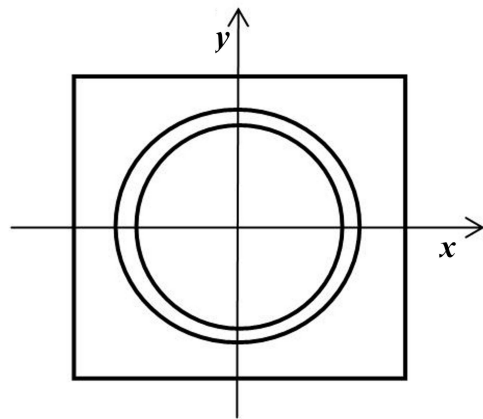


Рис. 7. Геометрия модельной ячейки реактора

Таблица 1

Результаты расчета $K_{\text{эфф}}$ по методике C-007 и программе MCNP

$T, \text{К}$	Без интерполяции		С интерполяцией		Отн. отклонение	
	C-007	MCNP	C-007	MCNP	C-007	MCNP
296	1,193928	1,20242	—	—	—	—
350	1,193128	1,20158	1,193152	1,20138	-0,00002	0,00017
400	1,192321	1,20042	1,192288	1,20038	0,00003	0,00003
450	1,191421	1,19952	—	—	—	—
500	1,190390	1,19825	1,190428	1,19844	-0,00003	-0,00016
550	1,189397	1,19708	1,189287	1,19720	0,00009	-0,00010
600	1,188312	1,19588	—	—	—	—

а в методике С-007 модель свободного газа реализуется непосредственно при моделировании траекторий.

Малые значения относительных ошибок доказывают, что новый метод интерполирования сечения неупругого рассеяния имеет хорошую точность даже на грубых сетках по температуре.

Расчеты критических сборок с замедлителем из воды

Для дальнейшего тестирования методики был проведен ряд расчетов коэффициента размножения нейтронов в 23 критических сборках. Эти сборки содержат различные типы топлива в активной зоне и замедлитель из воды. Подробное описание геометрии и состава сборок приведено в [8].

Для сравнения проводился расчет каждой задачи по стандартному и новому (с использованием предлагаемого метода) вариантам методики С-007. В табл. 2 даны результаты. Статистическая точность расчетов не менее 0,0001.

Таблица 2

Результаты расчетов K_{ϕ} по двум вариантам методики С-007

Крит. сборка	Стандарт. вариант	Новый вариант	Отн. отклонение
ORNL	0,995375	0,996015	0,0006
ORNL2	0,995551	0,996032	0,0005
ORNL3	0,993013	0,993260	0,0002
ORNL4	0,994419	0,994646	0,0002
ORNL10	0,995493	0,995544	0,0001
PNL-1	1,007317	1,007843	0,0005
PNL-2	0,999723	1,000296	0,0006
PNL-3	0,988574	0,989242	0,0007
PNL-4	0,995149	0,996050	0,0009
PNL-5	0,999393	1,000199	0,0008
PNL-6a	1,001290	1,001378	0,0001
PNL-6b	0,999456	0,999778	0,0003
PNL-7a	1,003405	1,004392	0,0010
PNL-7b	1,002923	1,003960	0,0010
PNL-8a	1,005350	1,006095	0,0007
PNL-8b	1,005187	1,006070	0,0009
PNL-9	0,993595	0,993859	0,0003
PNL-10	0,998018	0,998459	0,0004
PNL-11	1,009181	1,009143	0,0000
PNL-12a	1,004358	1,005266	0,0009
PNL-12b	1,004427	1,005206	0,0008

Заключение

Построен алгоритм интерполяции дифференциального сечения неупругого рассеяния медленных нейтронов. На численных примерах показана достаточно высокая точность алгоритма. Для использования интерполированного сечения в программах Монте-Карло разработан метод максимального дифференциального сечения, который позволяет уменьшить затраты на вычисление сечения. Эффективность метода определяется числом фиктивных столкновений и зависит от подбора мажоранты для дифференциального сечения. Численные эксперименты показывают, что число фиктивных столкновений не превышает 40 %. Расчеты коэффициента размножения для критических сборок с замедлителем из воды подтверждают высокую точность нового метода учета химических связей при рассеянии медленных нейтронов.

В настоящее время новый метод моделирования медленных нейтронов полностью реализован в программе СМК [9], созданной на базе методики С-007 [1]. При реализации предусмотрена возможность динамического изменения температуры среды, что важно для реакторных расчетов.

Список литературы

1. Житник А. К., Донской Е. Н., Огнев С. П. и др. Методика С-007 решения методом Монте-Карло связанных линейных уравнений переноса нейтронов, гамма-квантов, электронов и positронов // Вопросы атомной науки и техники. Сер. Математическое моделирование физических процессов. 2011. Вып. 1. С. 17–24.
2. MacFarlane R. E., Muir D. W. The NJOY Nuclear Data Processing System. Version 91. Los-Alamos National Laboratory Report LA-12740-M. October 1994.
3. Donnelly J. V. Interpolation of temperature-dependent nuclide data in MCNP // Nucl. Sci. and Eng. 2011. Vol. 168. P. 180–184.
4. Белл Д., Глесстон С. Теория ядерных реакторов. М.: Атомиздат, 1976.
5. Brown F. B., Martin W. R., Mosteller R. D. Monte-Carlo — advances and challenges. Los-Alamos National Laboratory Report LA-UR-08-05891. September 2008.
6. Соболь И. М. Численные методы Монте-Карло. М.: Наука, 1973.
7. MCNP — A General Monte-Carlo N-Particle Transport Code. Version 5, volume 1. Los-Alamos National Laboratory Report LA-UR-03-1987. April 2003.
8. Cross Section Evaluation Working Group Benchmark Specification. Cross Section Evaluation Working Group Thermal Reactor Benchmark Compilation. Brookhaven National Laboratory Report BNL19302(ENDF-202). June 1974.
9. Житник А. К., Залялов А. Н., Малькин А. Г. и др. Свидетельство о государственной регистрации программы СМК для ЭВМ № 2011610500 // Электронный бюллетень. 2011. № 2. С. 123. <http://www.fips.ru>.

Статья поступила в редакцию 15.10.12.